



INTERNATIONAL ATOMIC ENERGY AGENCY
UNITED NATIONS EDUCATIONAL, SCIENTIFIC AND CULTURAL ORGANIZATION



INTERNATIONAL CENTRE FOR THEORETICAL PHYSICS
34100 TRIESTE (ITALY) - P.O.B. 500 - MIRAMARE - STRADA COSTIERA 11 - TELEPHONE: 212041
CABLE: CENTRATON - TELEX 460392-I

SME/206- 11

* LIBRARY *

"SCHOOL ON POLYMER PHYSICS"

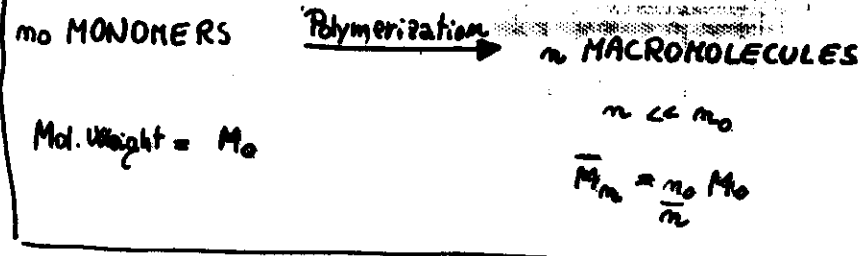
27 April - 15 May 1987

"SYNTHESIS OF MACROMOLECULES"

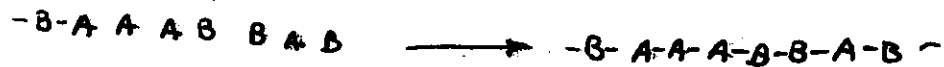
Professor F. Ciardelli
Università di Pisa
Pisa, Italy

These are preliminary lecture notes, intended only for distribution to participants.
Missing or extra copies are available in Room 231.

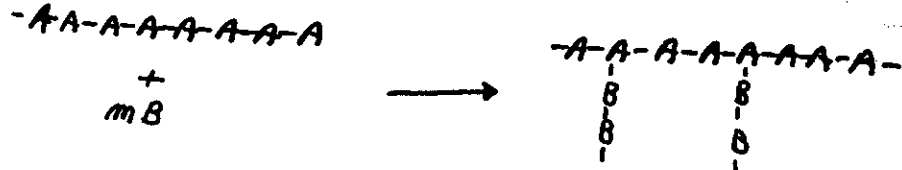
SYNTHESIS OF MACROMOLECULES



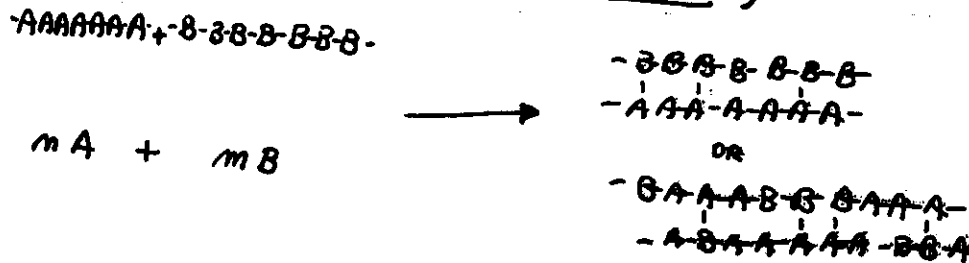
LINEAR STRUCTURES:



BIDIMENSIONAL STRUCTURES



TRIDIMENSIONAL STRUCTURES (NETWORKS)



CONCEPTS OF MACROMOLECULES SYNTHESIS

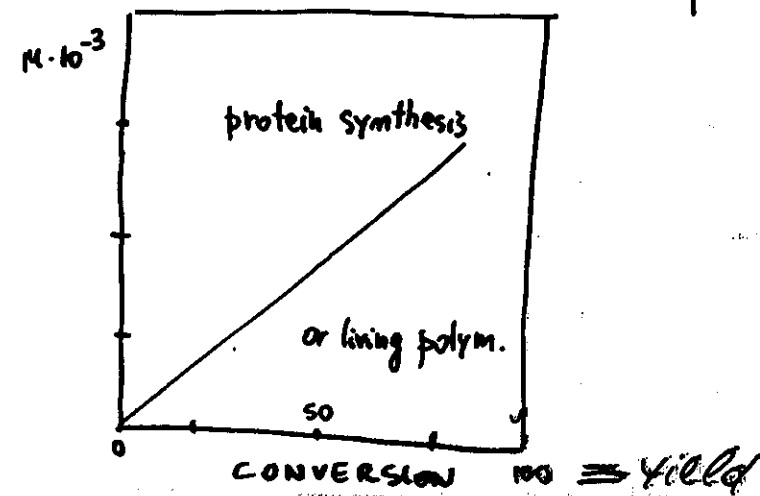
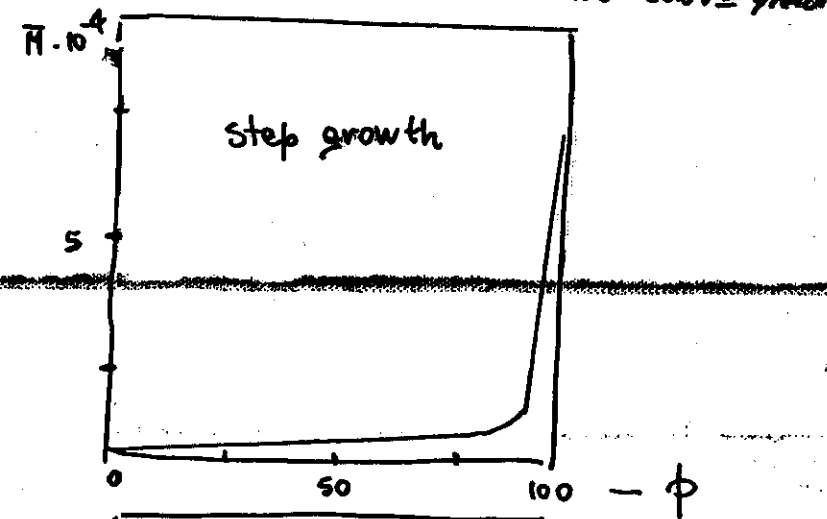
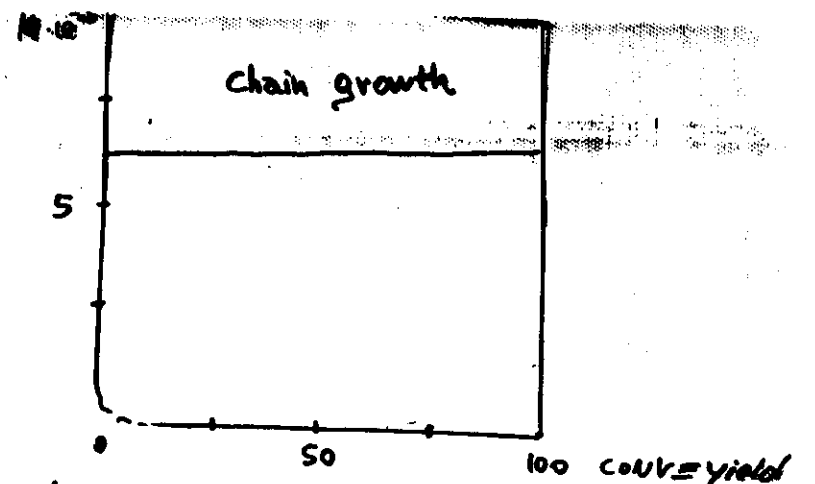
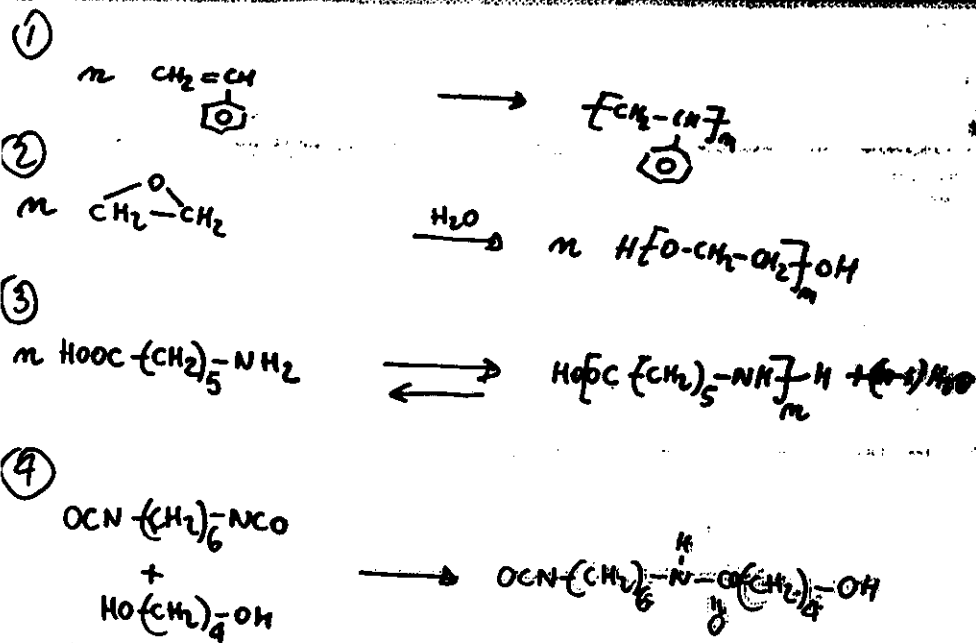
- # Conversion of monomer into polymer vs time (kinetics)
- * molecular weight vs time (conversion)
- * side reactions to
 - separable byproducts
 - nonseparable byproducts (chain irregularities)
- # average molecular weights and distribution
- # sequence distribution in copolymers
- * degree of crosslinking in networks
- # influence of polymerization mechanism
- * specific features
- * stereoregularity
- * macromolecules with highly defined structure
- * monodisperse macromolecules

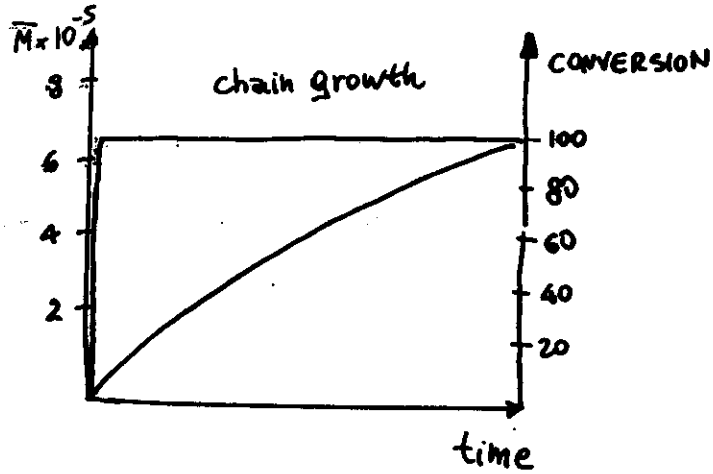
Polymerization Processes

Chain growth { free radical
anionic
cationic ①, ②

Step growth { polycondensation ③
polyaddition ④

Examples

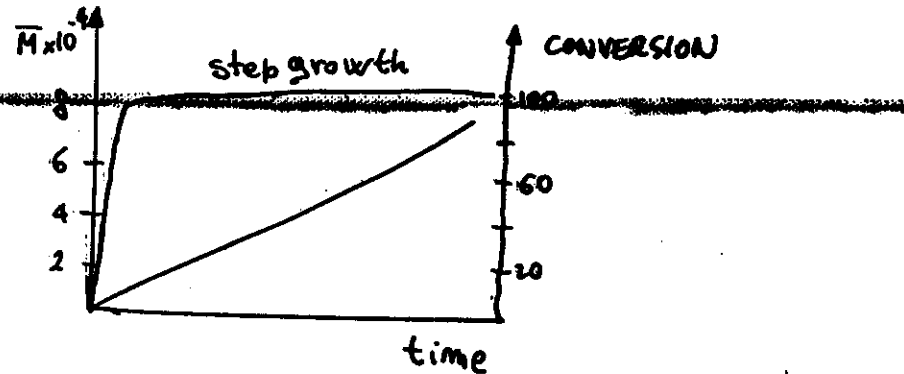
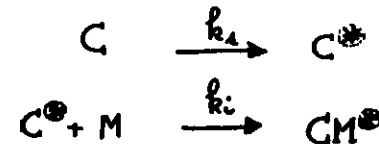




CHAIN GROWTH

Reazioni di Polimerizzazione a Catena
Schema Cinetico

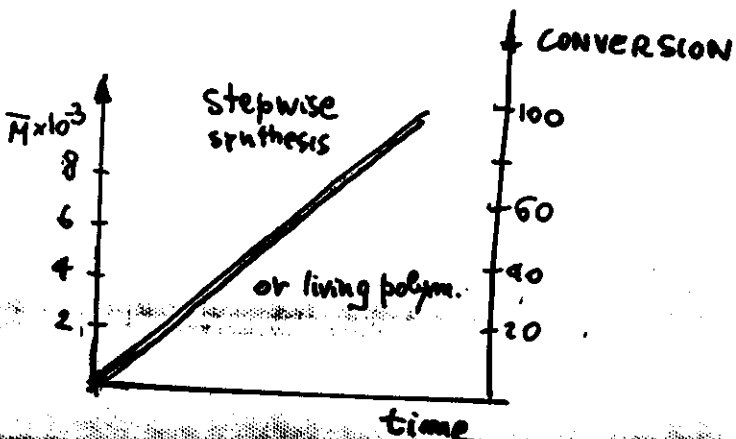
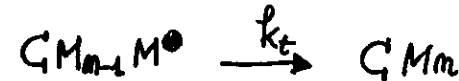
- 1) Inizio di Catena (Initiation)



- 2) Propagazione di catena (Propagation)



- 3) Terminazione di Catena (Termination)



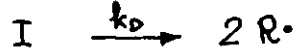
- 4) Trasferimento di Catena (Transfer)



1. INIZIO DI CATENA

A. Meccanismo radicalico

A1. Con iniziatore



$$\frac{d[R\cdot]}{dt} = 2k_0[I] - k_i[R\cdot][M] - \sum R_i = 0$$

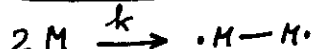
allo stato stazionario, se R_i indica la velocità della reazione i che consuma $R\cdot$.

se f = efficienza iniziatore

$$f = \frac{k_i[R\cdot][H]}{k_0[I] \cdot 2}$$

$$v_i = \text{velocità inizio} = \frac{d[R\cdot]}{dt} = 2f[I] \cdot k_0$$

A2 Iniziazione termica



$$v_i = k [M]^2$$

A3) Con radiazioni



$$v_i = \Phi_M \epsilon_M I_0$$



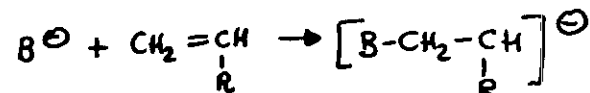
$$v_i = \Phi_c \epsilon_c I_0$$

k_0 per alcuni iniziatori:

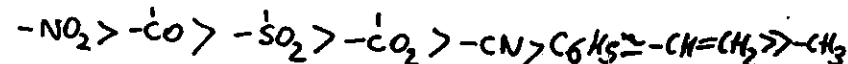
iniziatore	solvente	T(°C)	$k_0 (\text{sec}^{-1})$
$\begin{array}{c} \text{CH}_3 \\ \\ \text{C}-\text{N}=\text{N}-\text{C}-\text{CH}_3 \\ \\ \text{CH}_3 \end{array}$	CCl_4	60	$4,0 \times 10^{-6}$
benzene	60	$8,5 \times 10^{-6}$	
	100	$1,5 \times 10^{-3}$	
$\begin{array}{c} \text{O} \quad \text{O} \\ \quad \\ \text{C}_6\text{H}_5-\text{C}-\text{O}-\text{O}-\text{C}-\text{C}_6\text{H}_5 \end{array}$	Acetone	50	$4,3 \times 10^{-7}$
	70		$2,6 \times 10^{-5}$
Benzene	70	$1,2 \times 10^{-5}$	
	100	$2,5 \times 10^{-4}$	

3) INIZIAZIONE ANIONICA

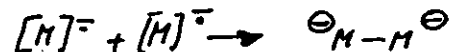
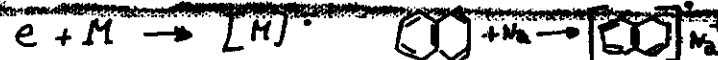
B1 Attacco di una base sul monomero



effetto stabilizzante di R sul carbanione



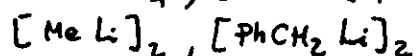
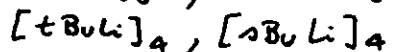
B2 Trasferimento di un elettrone da un donatore al doppio legame



Velocità inizio dipende dal solvente

I. solvente idrocarburico

I. Litio alchili sono associati



nessuna
induzione



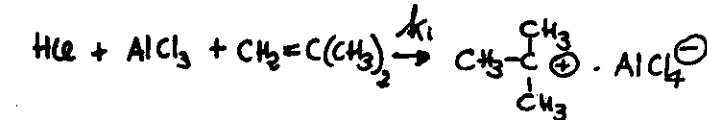
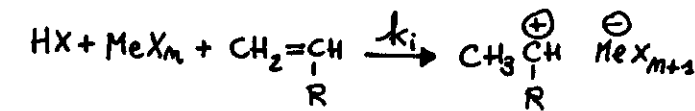
può dare aggregati misti:

C) INIZIAZIONE CATIONICA

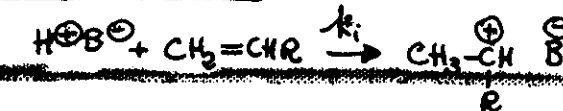


$$V_i = \frac{d[-HM^\oplus]}{dt} = k_i [HA][M]$$

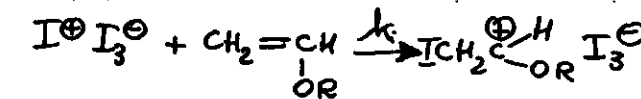
C1. Acidi di Lewis (MeX_n)



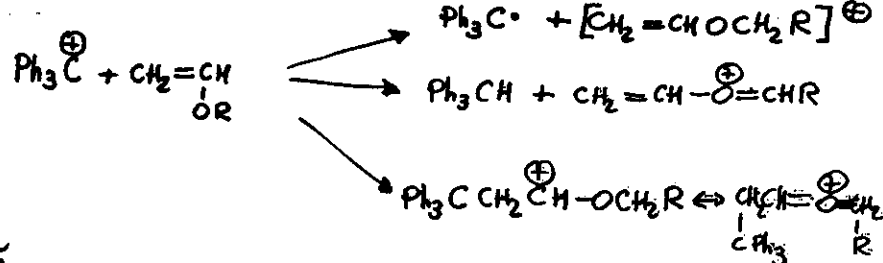
C2. Acidi protonici



C3. Iodio



C4. Salì di carbocationi stabili



2. PROPAGAZIONE DI CATEGORIA

A) RADICALICA

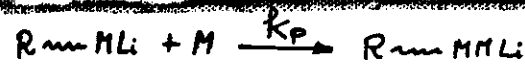
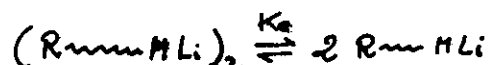


$$V_p = -d[M]/dt = k_p [\sim M \cdot][M]$$

B) ANIONICA

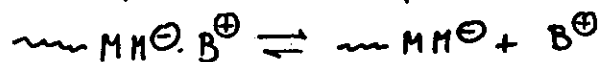
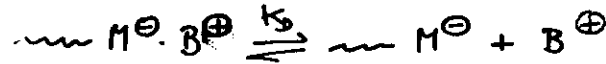
Effetto solvente anche in questo stadio

I) Solventi non polari



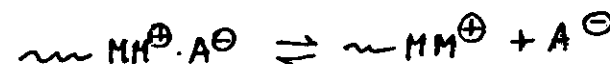
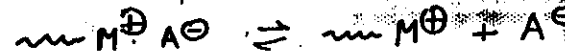
$$V_p = -d[M]/dt = k_p \cdot k_e^{1/2} [(R_{\sim M Li})_2]^{1/2} [M]$$

II) Solventi polari



$$V_p = -d[M]/dt = \{k_p [\sim M \cdot \cdot B^{\oplus}] + k_p^{\ominus} [\sim H \cdot \cdot B^{\oplus}]\} [M]$$

C) CATIONICA



$$\alpha = \text{grado dissociazione} = [\sim M^{\oplus}]$$

$$V_p = -d[M]/dt = k_{p_{\text{poss}}} \cdot [I][M]$$

$$k_{p_{\text{poss}}} = \alpha k_p^{\oplus} + (1-\alpha) k_p$$

C') PSEUDO CATIONICA



ioni
liberi

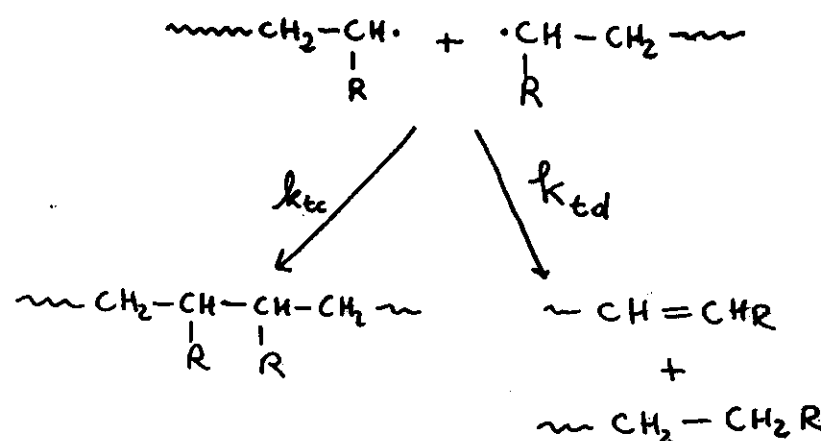
coppia
ionica

ESTERE
COVALENTE

Lo stadio lento a temperatura amb.
è dovuto a propagazione via estere
covalente o ad una bassa coh. ol:
coppia ionica?

3) TERMINAZIONE DI CATENA

A) RADICALICA



$$V_t = k_t [\text{M}]^2$$

dove $k_t = \alpha k_{tc} + (1-\alpha) k_{td}$

B) ANIONICA

Le reazioni di terminazione mancano in condizioni di elevata purezza; esse devono essere effettuate deliberatamente.

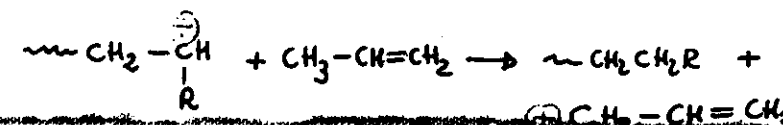
C) CATIONICA

C1. neutralizzazione di carica

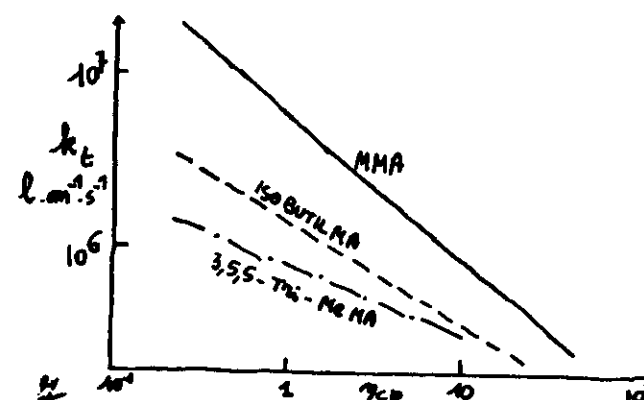
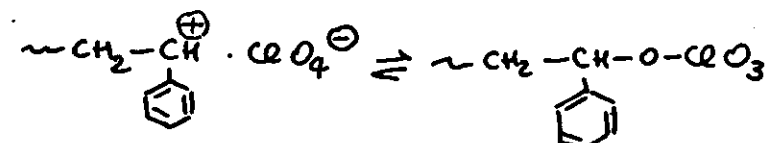


può diventare una reazione di trasferimento, perché AlCl_3 può iniziare una nuova catena.

C2. formazione di un catione stabile



C3. formazione di specie covalenti



4). TRASFERIMENTO DI CATENA

A) RADICALICA



$$V_{tr} = k_{tr} [m M \cdot] [S]$$

S = monomero, o iniziatore, o solvente
o trasferitore

B) ANIONICA

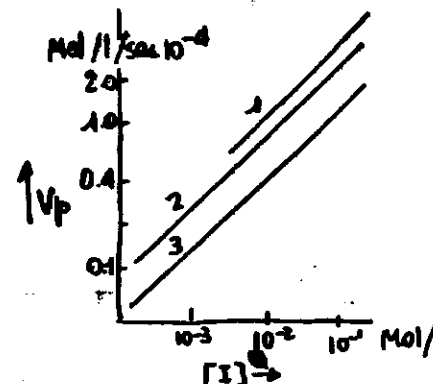
non comuni ad ihesistenti (V. CATIONICHE)

C) CATIONICA

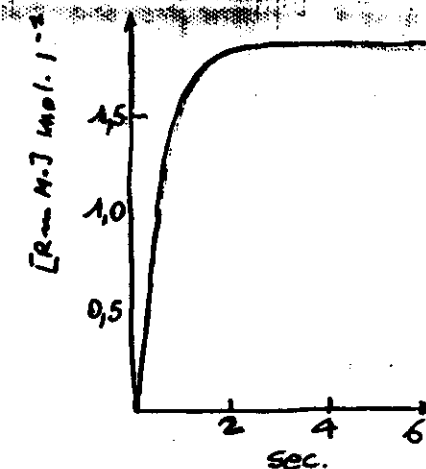


S' = monomero, catalizzatore, co-catalizzatore,
solvente o impurezza

$$V_{tr} = k_{tr} [m M^\oplus] [S']$$



1. MMA con AIBN, 50°C
2. ST con Br2, 50°C
3. MMA " " , 50°C



Lunghezza cinetica della catena e grado di polimerizzazione

$$\bar{v}_o = \bar{z} \cdot n_H = \bar{z} \cdot k_p [n]$$

$$\bar{z} = \frac{[R_{in} H \cdot]}{V_t} = \frac{1}{k_t [R_{in} H \cdot]}$$

$$\bar{v}_o = \frac{k_p [H] [R_{in} H \cdot]}{V_t} = \frac{V_p}{V_t}$$

Catena trasformante della Catena

$$c = \frac{[R_{in} H \cdot]}{V_t + V_{tr}}$$

$$\bar{v} = \frac{k_p [M] [R_{in} H \cdot]}{V_t + V_{tr}}$$

$$\bar{v} = \frac{V_p}{V_t + V_{tr}}$$

$$\frac{1}{\bar{v}} = \frac{1}{\bar{v}_o} + \frac{V_{tr}}{V_p} = \frac{1}{V_o} + \frac{k_{tr}}{k_p} \frac{[S]}{[M]}$$

$$\frac{1}{\bar{v}} = \frac{1}{V_o} + C_s \frac{[S]}{[M]}$$

Dipendenza del grado di polimerizzazione dalla temperatura

$$\bar{v} = k_p [n] / k_t [R_{in} H \cdot]$$

$$[R_{in} H \cdot] = \sqrt{k_d [I] / k_t}$$

$$\bar{v} = k_p [n] / \sqrt{k_d \cdot k_t \cdot [I]}$$

$$\frac{d \ln \bar{v}}{dT} = + \frac{E_p}{RT^2} + \frac{1}{2} \frac{E_t}{RT^2} + \frac{1}{2} \frac{Ed}{RT^2}$$

$$Ed \approx 30 \text{ kcal/mol}$$

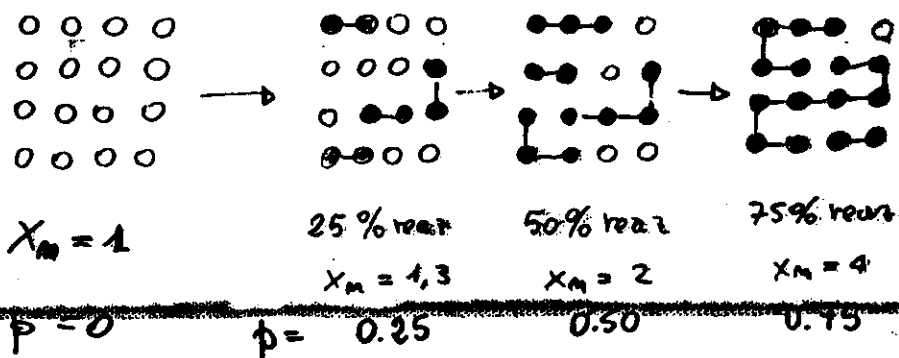
$$E_p - \frac{1}{2} E_t \approx 4-7 \text{ kcal}$$

$$\frac{d \ln \bar{v}}{dT} = \frac{1}{RT^2} \left[-\frac{Ed}{2} + \left(E_p - \frac{1}{2} E_t \right) \right] < 0$$

$$\bar{v} \leq \bar{x}_M \leq 2\bar{v} \quad \text{decresce con } T$$

Policondensazione Polycondensation

- 1) $A-B \rightarrow -A-B-A-B-$
- 2) $A-A + B-B \rightarrow -A-A-B-B-$



\textcircled{P} = grado di avanzamento della reazione

$$\text{caso 1} \quad \bar{X}_m = \frac{N_0}{N} = \frac{N_0}{(1-p)N_0} = \frac{1}{1-p}$$

$$\text{caso 2} \quad \bar{X}_m = \frac{N_0^A + N_0^B}{N^A + N^B}$$

$$\text{se } N_0^A = N_0^B$$

$$\boxed{\bar{X}_m = \frac{1}{1-p}}$$

MOLI AA	MOLI BB	ov MOLI AB	MOLI MOLE DISPERSE	\bar{X}_m	P
1	1	2	1	2	0,5
2	2	4	3	4	0,75
5	5	10	9	10	0,90
10	10	20	19	20	0,95
50	50	100	99	100	0,99
100	100	200	199	200	0,995

se nel caso 2

$$N_0^A \neq N_0^B \quad N_0^A / N_0^B = r$$

$$N_A = N_0^A (1-p) = r N_0^B (1-p)$$

$$N_B = N_0^B - p_A \cdot N_0^A = N_0^B (1 - r p_A)$$

$$\boxed{-\bar{X}_m = \frac{1+r}{1+r-2rp_A}}$$

$$r < 1$$

MOLI AA	MOLI BB	r	$(\bar{X}_m)_{\max}$
1	2	0,5	3
2	3	0,66	5
50	51	0,98	101
100	101	0,99	201
1	1	1	GRANDE QUANTO SI VOGLIE

CINETICA DELLA POLICONDENSAZIONE



Reazione autocatalitica:

$$-\frac{d[\text{COOH}]}{dt} = k [\text{COOH}]^2 [\cdot\text{OH}] = k c^3$$

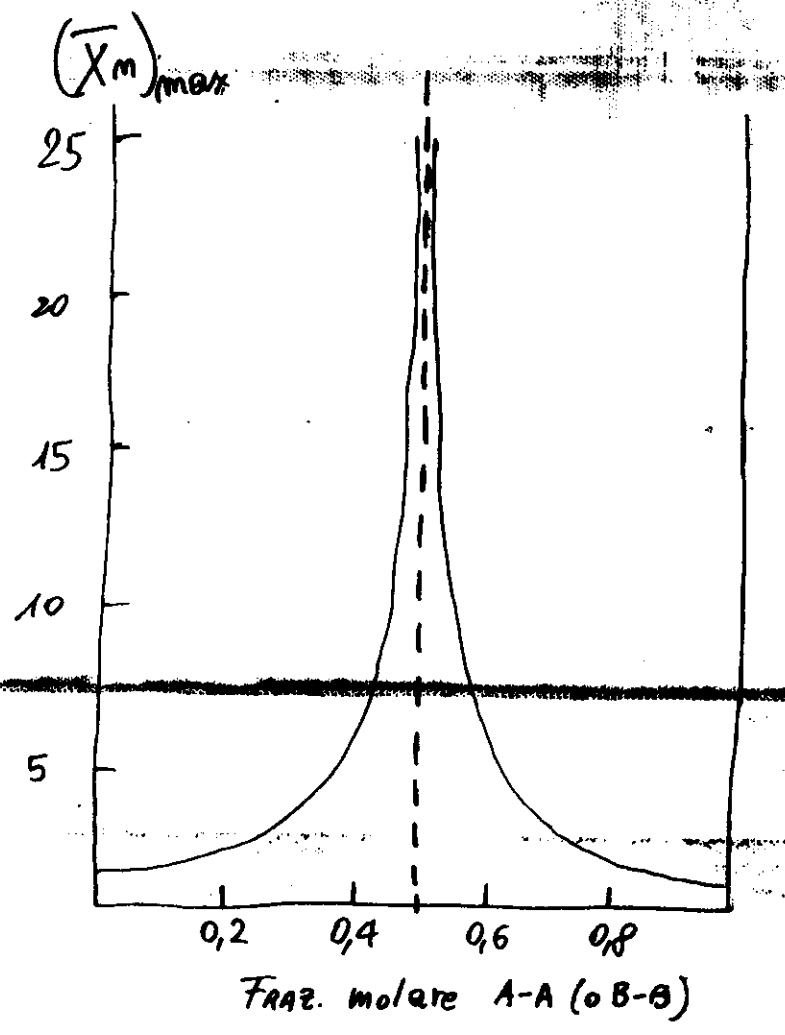
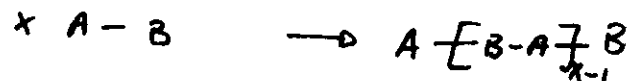
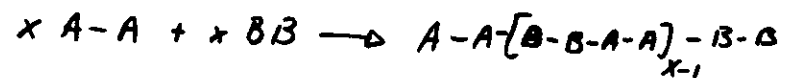
$$\frac{1}{(1-p)^2} = 2 C_0^2 k t + 1$$

Reazione catalizzata

$$-\frac{dc}{dt} = k' c^2$$

$$\frac{1}{1-p} = C_0 k' t + 1$$

Distribuzione fasi molecolari:



Policondensazione lineare

FRAZ. molar, molecule: $\text{Conc} \times \text{molar}$

$$N_x = 1 \cdot (1-p) p^{x-1} = \text{Molar fraction}$$

$$N_x = \frac{1}{M} (1-p)^2 p^{x-1} = \text{total number}$$



$$\bar{X}_m = \frac{\sum x N_x}{\sum} = x (1-p) p^{x-1}$$

$$\sum_{x=1}^{\infty} x p^{x-1} = \frac{1}{(1-p)^2}$$

$$\bar{X}_m = \frac{1}{1-p}$$

Graza polim. medio ponderale

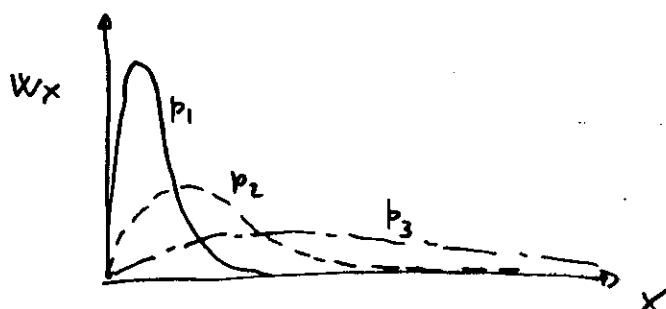
$$\bar{X}_w = \sum w_x \cdot x = \sum x^2 p^{x-1} / (1-p)^2$$

$$\sum_{x=1}^{\infty} x^2 p^{x-1} = \frac{1+p}{(1-p)^3}$$

FRAZ. ponderale

$$w_x = x (1-p)^2 p^{x-1} \quad \text{Weight fraction}$$

$$\bar{X}_w = \frac{1+p}{1-p}$$



$$\frac{\bar{X}_w}{\bar{X}_m} = 1 + p$$

M.W. Dispersion

$$\text{con } 0 \leq p \leq 1$$

PROBLEMS FOR THE SYNTHESIS OF
MACROMOLECULES WITH HIGH STRUCTURAL
REGULARITY

A. MAIN POINTS

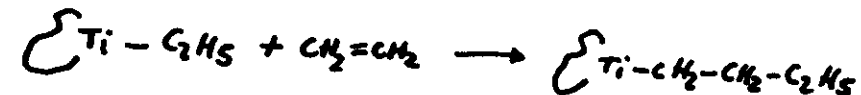
1. UNITS ARRANGEMENT (HEAD-TO-TAIL ...)
2. MOLECULAR WEIGHT DISPERSION
3. STEREOREGULARITY
4. SEQUENCE DISTRIBUTION IN COPOLYMER

B. ACTUAL SITUATION

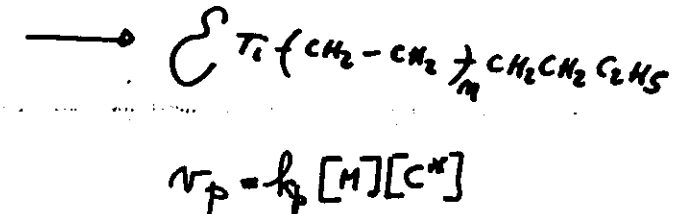
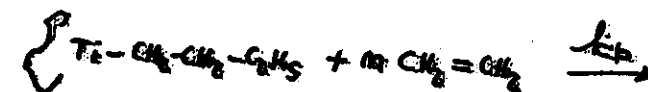
1. strictly respected only in polycondensation and stepwise synthesis; substantially valid for most chain polymerizations particularly Ziegler-Natta
2. Substantially respected in living polymerization (anionic, group transfer)
3. Ziegler-Natta and stepwise syntheses
4. Alternating Copolymerization and stepwise syntheses

ZIEGLER-NATTA POLYMERIZATION

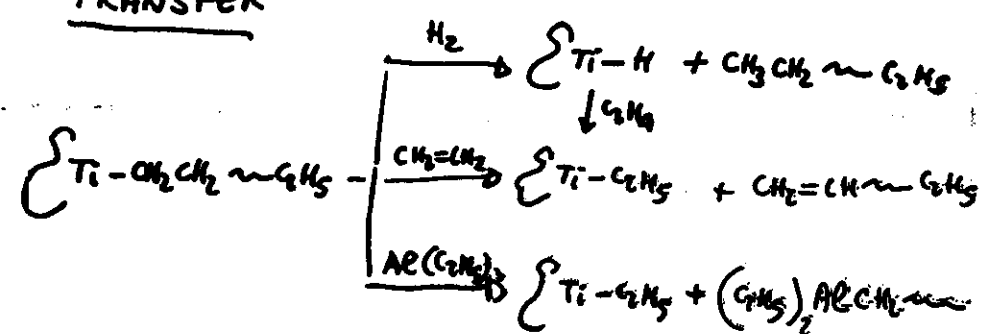
INITIATION



PROPAGATION

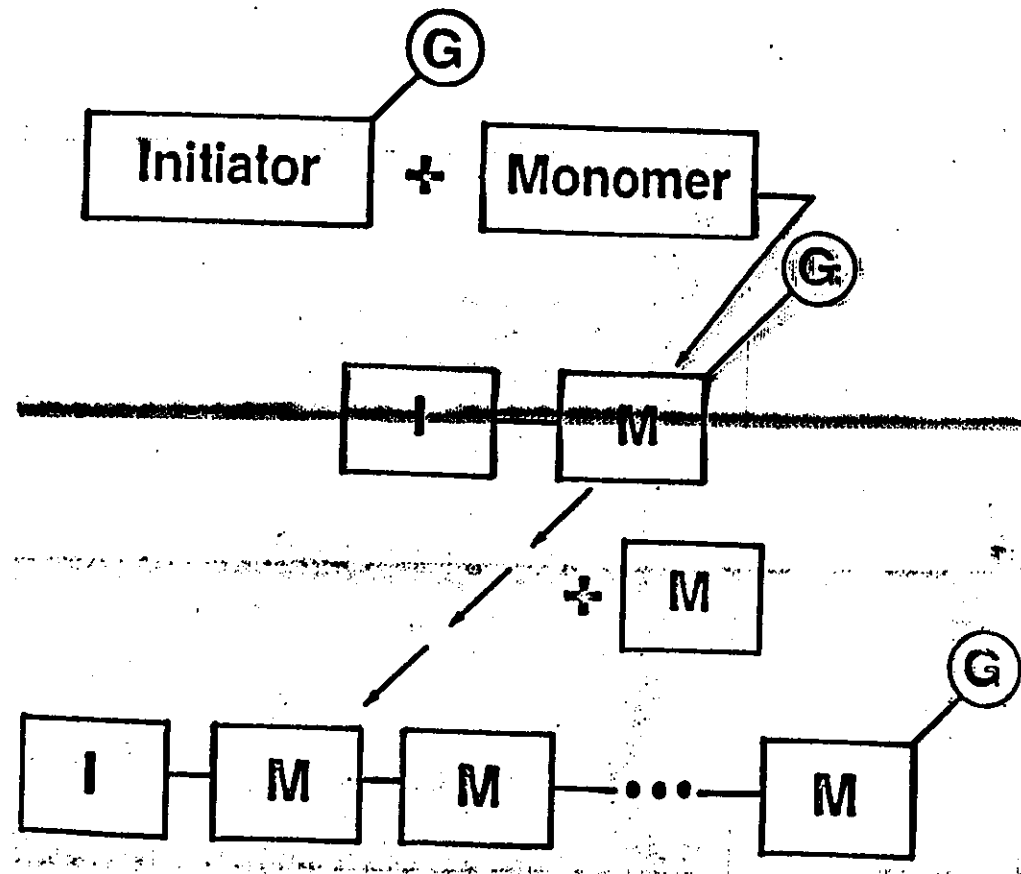


TRANSFER



GROUP TRANSFER
Polymerization

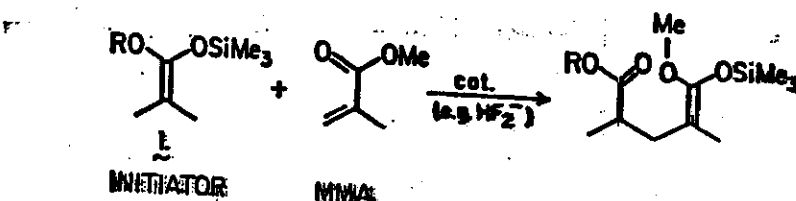
Schematic of Group Transfer Polymerization



"The special initiator (I) with a silicon containing group (G) adds to the monomer (M) and simultaneously transfers the silicon group to the opposite end of the monomer."

GROUP TRANSFER POLYMERIZATION

GROUP TRANSFER POLYMERIZATION IS THE SEQUENTIAL CATALYZED MICHAEL ADDITION OF KETENE SILYL ACETALS (1) TO α, β -UNSATURATED ESTERS, NITRALES, OR CARBOXAMIDES.

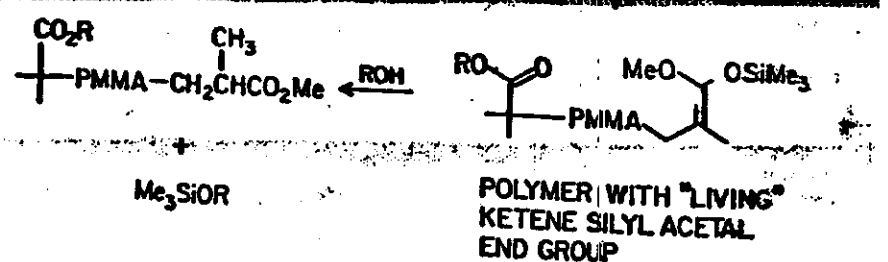


2

CHARACTERISTICS OF GROUP TRANSFER POLYMERIZATION

POLYMERIZATION OF METHYL METHACRYLATE IS RAPID AND EXOTHERMIC IN TEMPERATURE RANGE -100° TO $+110^\circ\text{C}$ GIVING QUANTITATIVE YIELD OF POLYMER.

MOLECULAR WEIGHT SHOWS NARROW DISPERSION. TYPICALLY $M_w/M_n = 1.30 - 1.4$



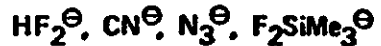
THE DEGREE OF POLYMERIZATION IS CONTROLLED BY THE RATIO OF MONOMER OR INITIATOR.

KETENE SILYL ACETAL END GROUP IS STABLE AND MAY BE USED FOR FURTHER REACTIONS OR FOR PREPARING BLOCK POLYMERS BY CHANGING MONOMER FEED.

3

CATALYSTS
FOR GROUP TRANSFER POLYMERIZATION

NUCLEOPHILIC CATALYSTS:



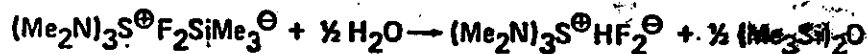
SOLVENTS: Tetrahydrofuran, Toluene, Acetonitrile

LEWIS ACID CATALYSTS:



SOLVENTS: Toluene, Halogenated hydrocarbons

PREPARATION OF $(\text{Me}_2\text{N})_3\text{S}^{\oplus}\text{HF}_2^{\ominus}$ CATALYST ("TASHF₂")

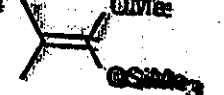


CATALYST REQUIREMENTS

NUCLEOPHILIC CATALYSTS MAY BE USED AT <<1% OF INITIATOR
LEWIS ACID CATALYSTS SHOULD BE USED AT ≥10% OF INITIATOR

4

TYPICAL PROCEDURE FOR
GROUP TRANSFER POLYMERIZATION

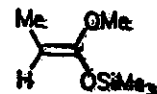
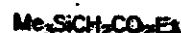
EQUIPMENT AND REAGENTS MUST BE DRY. TO: 20 ml THF, 0.01 mmol TASHF₂, AND 0.5 mmol 

UNDER ARGON OR NITROGEN FEED 360 mmol METHYL METHACRYLATE AT RATE TO MAINTAIN DESIRED TEMPERATURE. QUENCH WITH METHANOL, AND EVAPORATE OR PRECIPITATE PMMA IN QUANTITATIVE YIELD. \overline{M}_n 4300 \overline{M}_w 5300 (THEORY 4340)

6

OTHER GROUP TRANSFER POLYMERIZATION INITIATORS

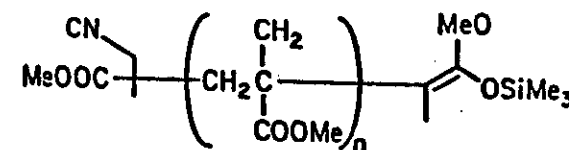
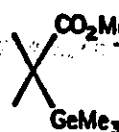
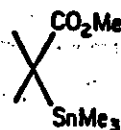
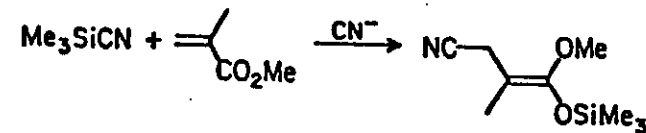
EXAMPLES



7

INITIATION WITH Me_3SiCN

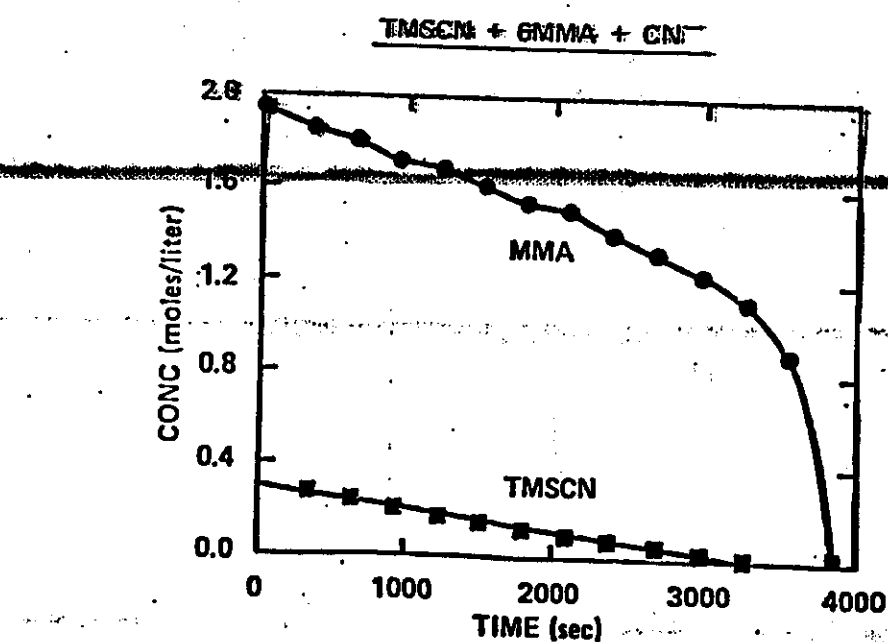
TRIMETHYLSILYL CYANIDE, WITH CYANIDE ION CATALYST, INITIATES GROUP TRANSFER POLYMERIZATION OF METHYL METHACRYLATE WITH A PROLONGED INDUCTION PERIOD.



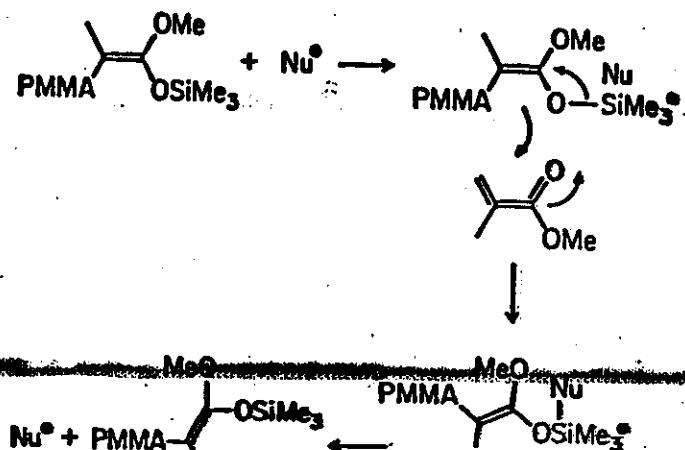
INDUCTION PERIOD IS CAUSED BY INHIBITION OF POLYMERIZATION BY TRIMETHYLSILYL CYANIDE INITIATOR. THE INHIBITION RESULTS FROM COMPLEXATION OF CN^- CATALYST BY THE TRIMETHYLSILYL CYANIDE.

MECHANISM OF GROUP TRANSFER POLYMERIZATION

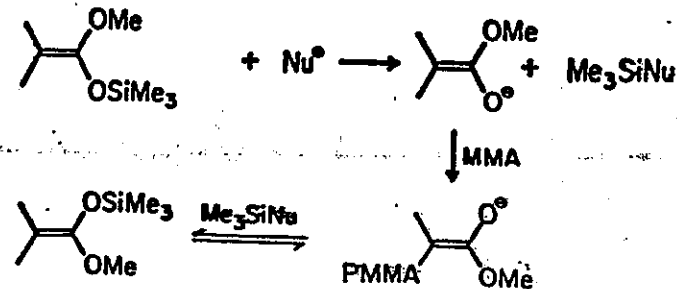
WHEN ALL OF THE TRIMETHYLSILYL CYANIDE IS CONSUMED,
RAPID POLYMERIZATION OCCURS AS OBSERVED BY ^1H NMR
KINETIC STUDIES.

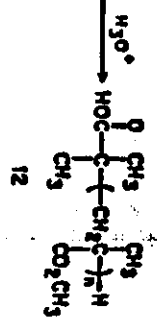
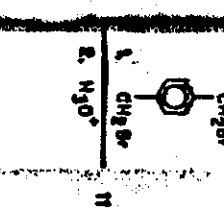
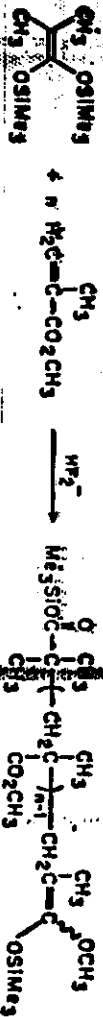


Associative Intramolecular Silyl Transfer Mechanism



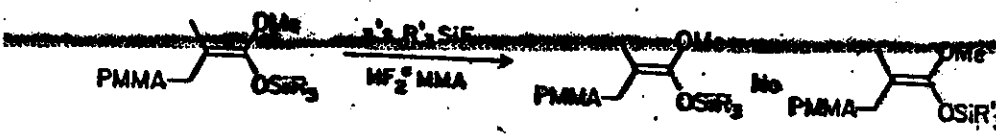
Dissociative Mechanism





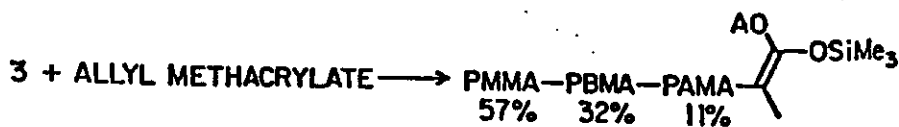
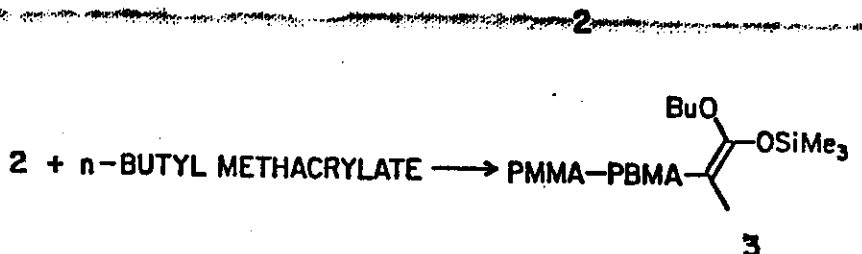
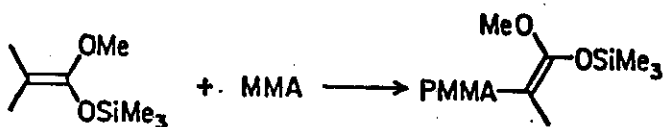
EVIDENCE FOR ASSOCIATIVE MECHANISM

LACK OF EXCHANGE OF TRIALKYSIYL GROUPS OF POLYMER AND EXTERNAL R₃SiNu DURING POLYMERIZATION IS CONSISTENT WITH ASSOCIATIVE MECHANISM AND INCONSISTENT WITH DISASSOCIATIVE MECHANISM.



BLOCK POLYMERS

SINCE GROUP TRANSFER POLYMERS ARE "LIVING" (ie THEY CONTAIN A REACTIVE KETENE SILYL ACETAL TERM (S)) CHANGING THE MONOMER FEED TO A NEW MONOMER PRODUCES A NEW BLOCK. THE SIZE OF EACH BLOCK CAN BE ACCURATELY CONTROLLED.



Mn 3800 Mw 4060 (THEORY 4060)

Tg = -19°, +38°, and +108°C

Reazioni di Macromolecole1. Reazioni senza variazioni del grado di polimerizzazione

- 1.1. Trasformazioni \rightarrow catene principale
- 1.2. Trasformazioni \rightarrow catene laterali

2. Reazioni con aumento del grado di polimerizzazione

- 2.1. Copolimeri a blocchi:
- 2.2. Copolimeri ad interfa.
- 2.3. Reticolazioni

~~3. Reazioni con diminuzione del grado di polimerizzazione~~

- 3.1. Depolimerizzazione a stadi
- 3.2. Depolimerizzazione statistica

Reticolazione e peso molecolare delle macromolecole primarie

1. Polimero monodisperso ($\bar{M}_P = x$)

p_m = probabilità che una unità sia coinvolta nella reticolazione

Allora

$E = p_m (x-1)$ = probabilità che in una macromolecola ci sia una reticolazione

Il valore critico per la reticolazione di tutte le macromolecole è $E_{critico} = 1$

Quindi

$$(p_m)_{crit} = \frac{1}{x-1} \approx \frac{1}{x}$$

2. Polimero polidisperso

$$E_i = p_m (w_m)_i (x_i - 1) \quad w_m = \text{peso } x_i$$

$$\bar{E} = \sum_i E_i = \sum_i p_m (w_m)_i (x_i - 1) = p_m \sum_i (w_m)_i (x_i - 1)$$

$$\bar{E} = p_m \sum_i \{(w_m)_i x_i - (w_m)_i\} = p_m \left[\sum_i (w_m)_i x_i - \sum_i (w_m)_i \right]$$

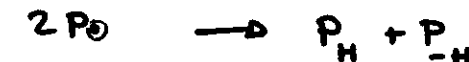
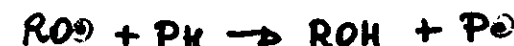
quindi

$$\bar{E} = p_m (\bar{x}_w - 1)$$

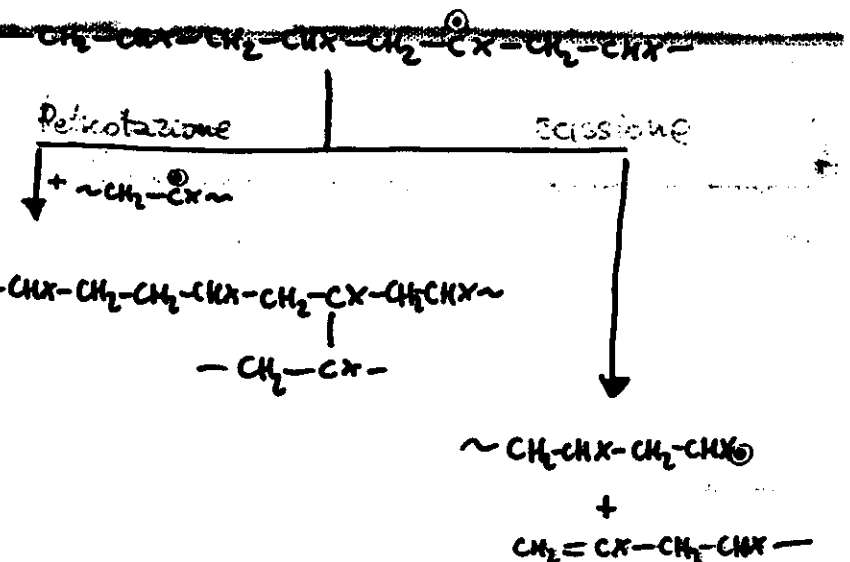
$$(p_m)_{crit} \approx 1 / \bar{x}_w$$

Reticolazione di Polimeri

ad es. con perossidi



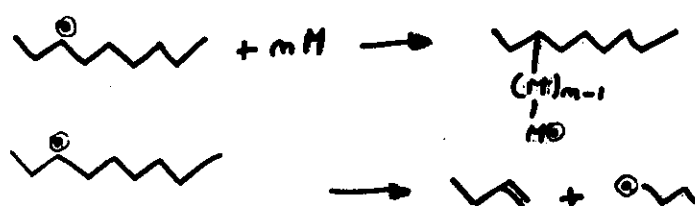
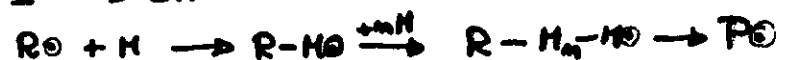
si può avere anche degradazione di PO



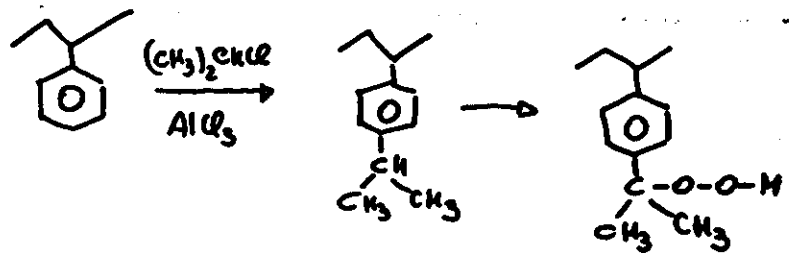
L'EFFICIENZA DELLA RETICOLOZIONE
DIPENDE DAL POLIMERO

Sintesi di copolimeri ad innesto per via radicalica

1. Trasferimento di catena



2. Gruppi reattivi sulla catena



3. Metodi fotochimici e radiochimici

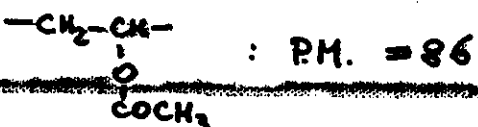
Elevata concentrazione dei gruppi reattivi in un omonopolimero

1. Soluzione 1% in peso di etilacetato



molarità : 0,11 mol/litro

2.. Soluzione 1% in peso oli PVA ($\bar{M}_n = 10^6$)

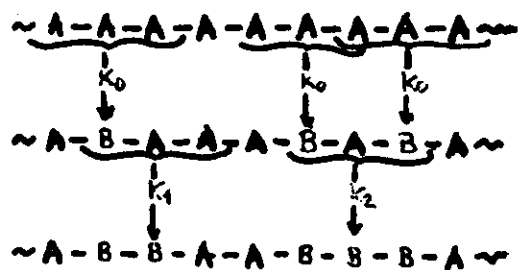


molarità $\sim 0,11$ mol/litro

In un gomitolo omogeneo a sfera di volume V ($\kappa=20\text{mm}$) si trovano però

$$\frac{\bar{M}_n / 86}{V} = \frac{\bar{M}_n / 86}{\frac{4}{3}\pi r^3} \simeq 0,55 \text{ mol/litro}$$

Frazione F di gruppi non reagiti nella reazione
bi funzionale di sostituzione



Effetti del
gruppo
vicino

$$k_0 = k_1 = k_2 \quad k_0 < k_1 < k_2 \quad k_0 > k_1 > k_2$$

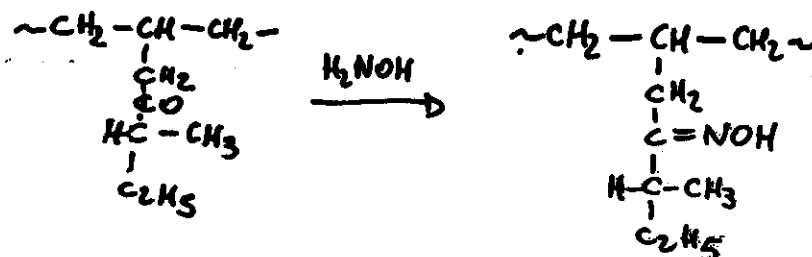
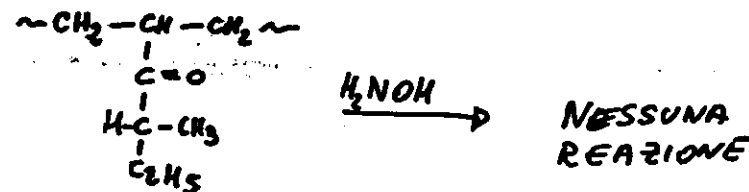
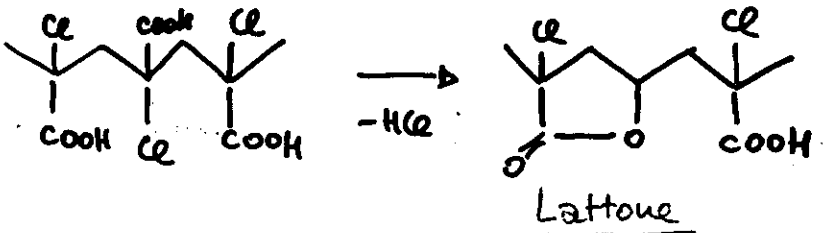
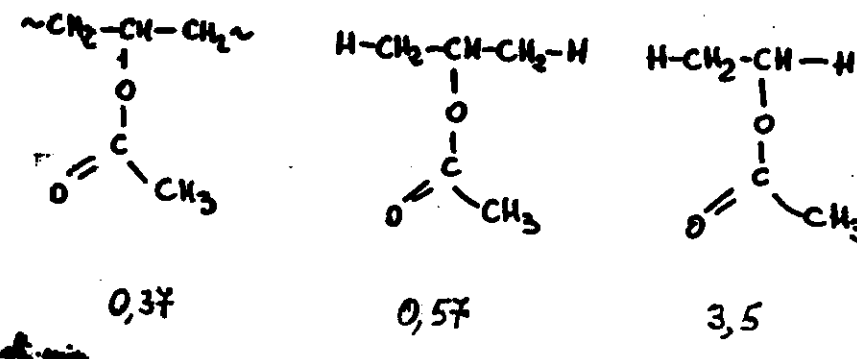
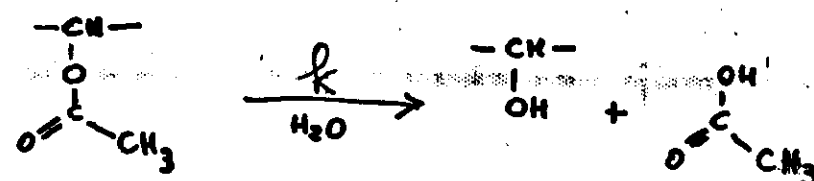
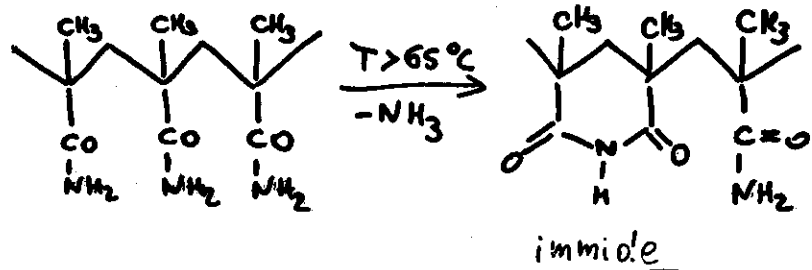
	$k_0 = k_1 = k_2$	$k_0 < k_1 < k_2$	$k_0 > k_1 > k_2$
cinetica	casuale	autoaccelerazione	auto ritardata
conversione	quantitativa	quantitativa	limitata
eterogeneità composizione	moderata	elevata	bassa
distribuzione unità A e B	statistica	blocchi di B	B isolato da blocchi di A

OMO POLIMERO

Concatenamento	Posizione gruppi	numero gruppi per residuo	F
TC	1,3	2	$1/2e = 0,184$
TC	1,3	1	$1/e^2 = 0,135$
TT/CC (ALT.)	1,2	2	0,5
TT/CC/TC (SIME)	1,2+1,3	2	0,312

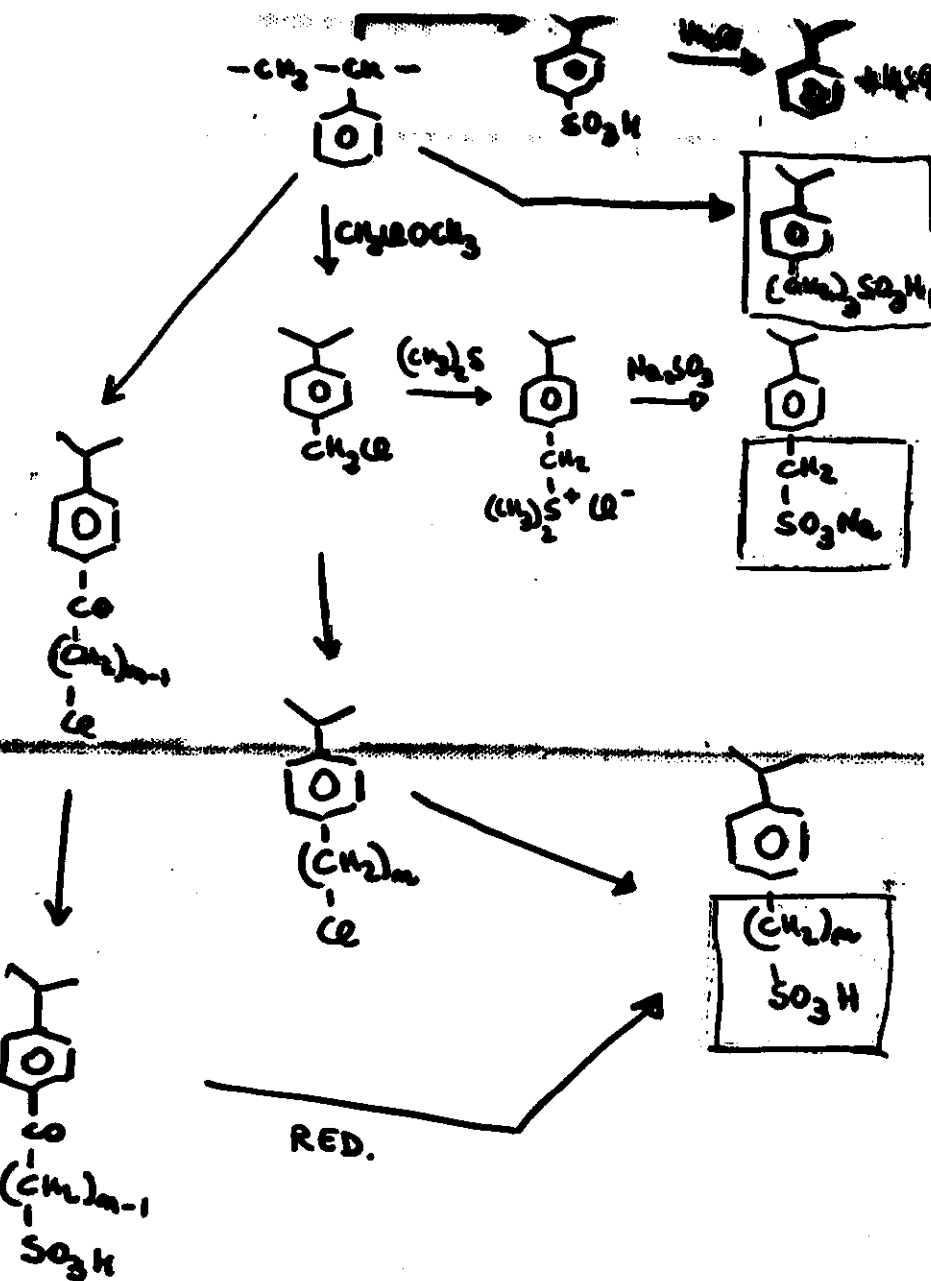
Le interazioni tra unità vicinali sono determinanti quando portano ad uno stato di transizione a ciclo di 5

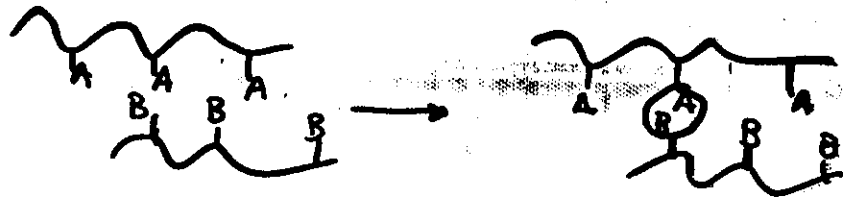
o 6 membri



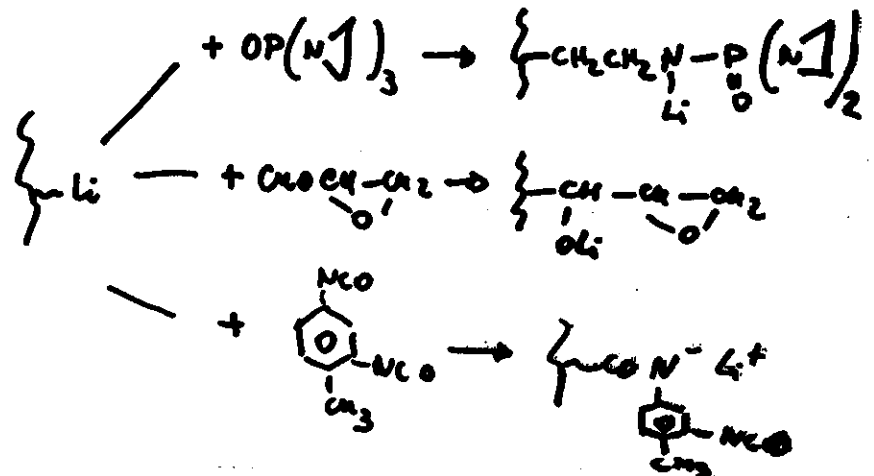
Fattori che determinano la diversa reattività di un gruppo funzionale in macromolecole ed in analoghi monomerici

- Diverso intorno strutturale; inclusi effetti sterici
- Presenza di gruppi vicinali nel polimero
- Diversa interazione con il solvente
- Difficile omogeneità dei sistemi macromolecolari nel corso della reazione
- Alta concentrazione locale dei gruppi in un omopolimero
- Interazione tra gruppi vicini o lontani in copolimeri





A	B
-anidride	-OH
-acido (COOH)	-NH ₂
-isocianato	-OH
-epossido	-NH ₂ , -NHR
-idrogenosilano	NH ₂ , NHR =C=C= CH ₂ =CH-Si- ≡



Reazioni con aumento del $\overline{DP_m}$

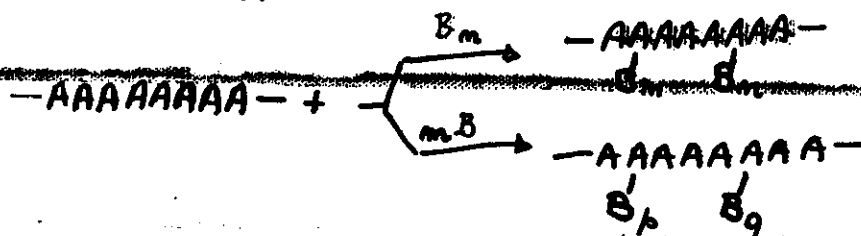
1. Formazione di copolimeri a blocchi

BLOCK COPOLYMERS



2. Formazione di copolimeri ad innesto

GRAFT COPOLYMERS



Reazioni di reticolazione

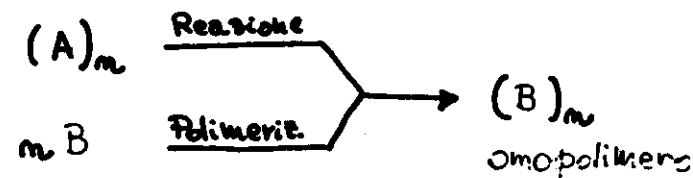
CROSSLINKING



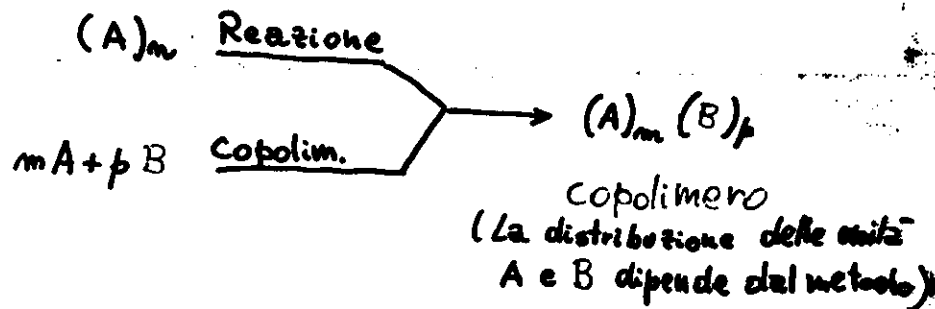
Reazioni senza variazione del DPm

Reazione : $\sim A \sim \longrightarrow \sim B \sim$

1. Conversione completa

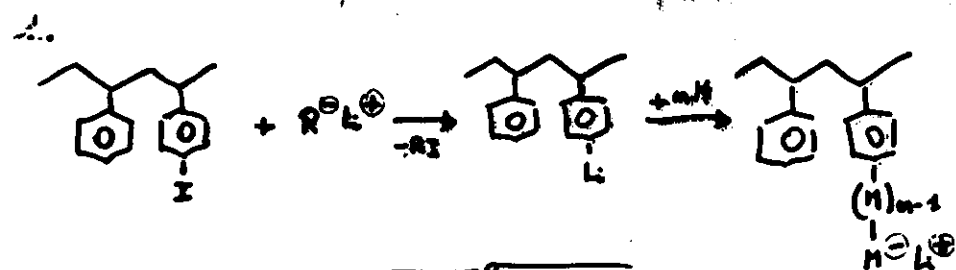


2. Conversione parziale

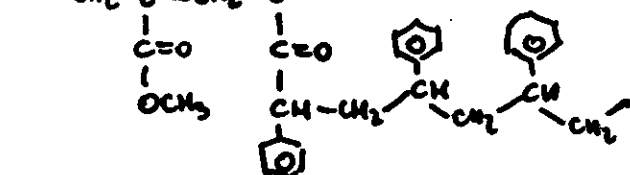
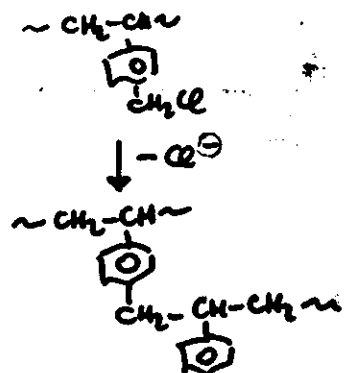
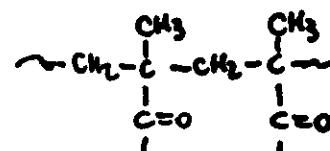
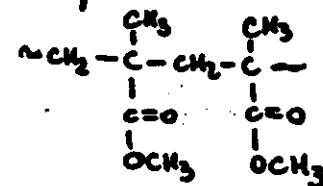


N.B. La reazione rimane l'unico metodo di sintesi se il monomero B utile è disponibile o polimerizzabile

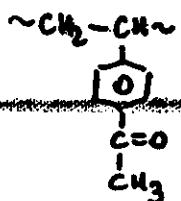
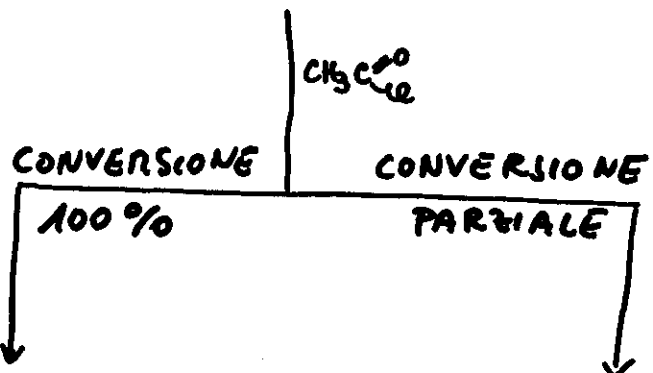
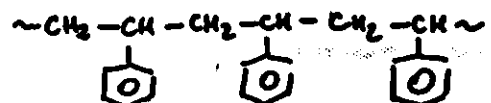
Sintesi di copolimeri ad univarisio via ioni ca



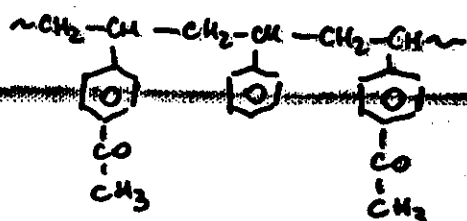
2.



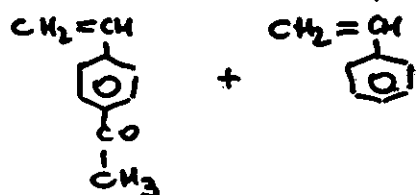
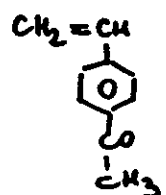
COPOLIMERIZZAZIONE



OMOPOLIMERO



COPOLIMERO



Interessa essenzialmente lo stadio di propagazione.

1. $\sim \text{M}_1^\bullet + \text{M}_1 \xrightarrow{k_{11}} \sim \text{M}_1\text{M}_1^\bullet$
2. $\sim \text{M}_1^\bullet + \text{M}_2 \xrightarrow{k_{12}} \sim \text{M}_1\text{M}_2^\bullet$
3. $\sim \text{M}_2^\bullet + \text{M}_2 \xrightarrow{k_{22}} \sim \text{M}_2\text{M}_2^\bullet$
4. $\sim \text{M}_2^\bullet + \text{M}_1 \xrightarrow{k_{21}} \sim \text{M}_2\text{M}_1^\bullet$

Dove \cdot indica una specie attiva: radicale o catione od anione

$$-\frac{d[\text{M}_1]}{dt} = k_{11}[-\text{M}_1^\bullet][\text{M}_1] + k_{21}[-\text{M}_2^\bullet][\text{M}_1] =$$

$$= [\text{M}_1]\{k_{11}[-\text{M}_1^\bullet] + k_{21}[-\text{M}_2^\bullet]\}$$

$$-\frac{d[\text{M}_2]}{dt} = [\text{M}_2]\{k_{22}[-\text{M}_2^\bullet] + k_{12}[-\text{M}_1^\bullet]\}$$

Stato stazionario della copolimerizzazione

occorre $\text{N}_2 = \text{N}_4$

CIOE

$$k_{12}[-\text{M}_1^\bullet][\text{M}_2] = k_{21}[-\text{M}_2^\bullet][\text{M}_1]$$

Equazione di copolimerizzazione (Mayo e Lewis)

$$\frac{d[M_1]}{d[M_2]} = \frac{(x_1 [M_1]/[M_2]) + 1}{(x_2 [M_2]/[M_1]) + 1}$$

dove

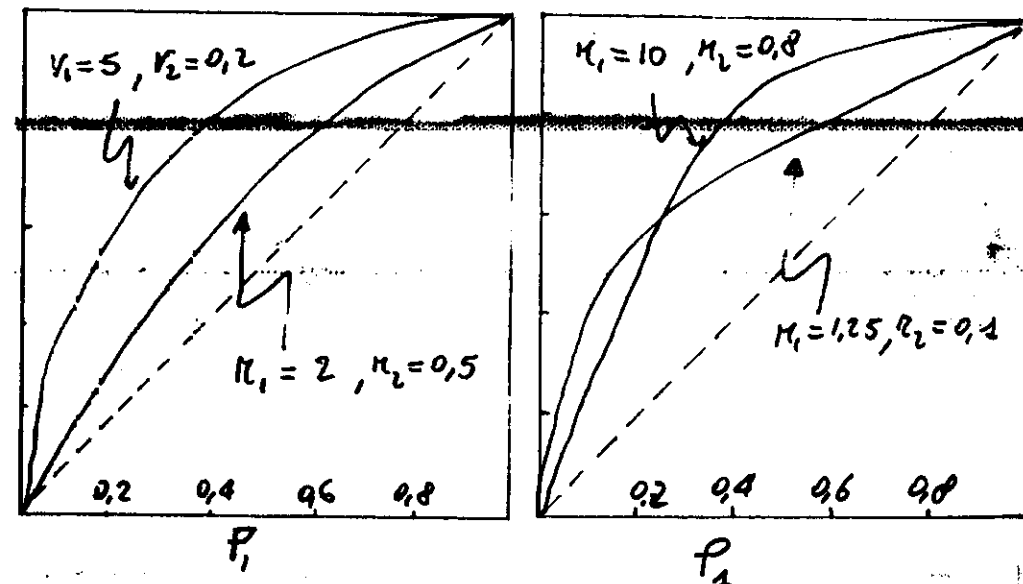
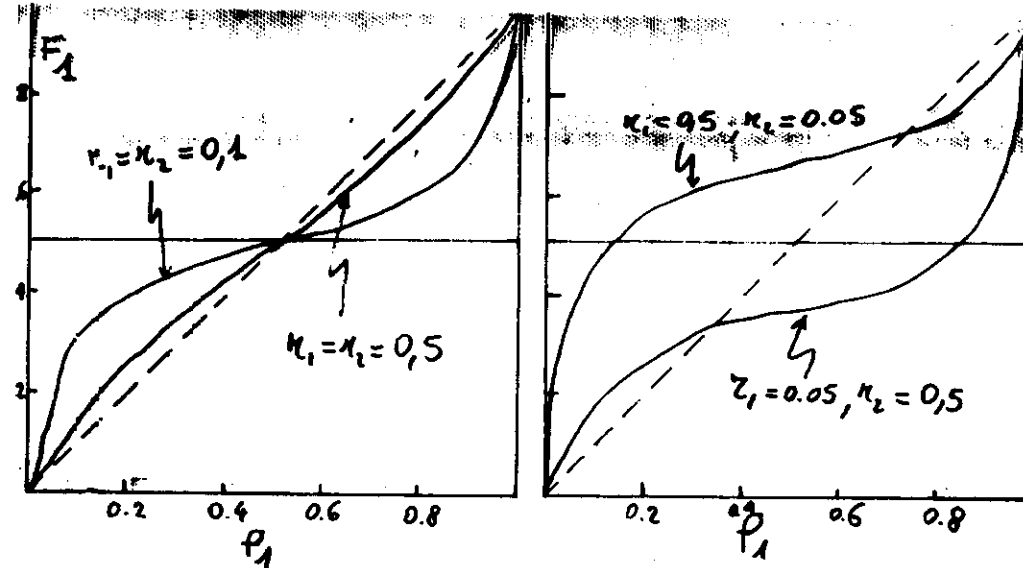
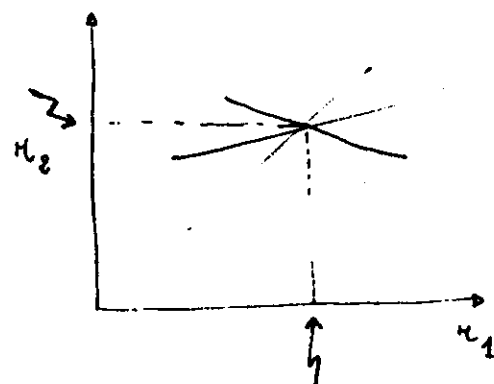
$$x_1 = k_{11}/k_{12} \quad \text{e} \quad x_2 = k_{22}/k_{21}$$

rapporti di reattività

$$\text{se } a = [M_1]/[M_2] \quad \text{e} \quad b = d[M_1]/d[M_2]$$

$$b = \frac{x_1 a + 1}{\frac{x_2}{a} + 1}$$

$$x_2 = a \frac{x_1 a + 1}{b} - a = x_1 \frac{a^2}{b} + \left(\frac{a}{b} - a\right)$$



$$F_1 = \frac{\text{Frazione mol. } M_1 \text{ nel polimero}}{\frac{d[M_1]}{d[M_1] + d[M_2]}}$$

$$P_1 = \frac{[M_1]}{[M_1] + [M_2]}$$

Equazioni di copolimerizzazione per casi limitati

1. Ideale

$$A. \quad \kappa_1 = \kappa_2 = 1 \quad b = 2$$

$$d[M_1] = [M_1] \quad e \quad d[M_2] = [M_2]$$

$$B. \quad \kappa_1 \times \kappa_2 = 1 \quad (\text{statistico})$$

$$\frac{k_{11}}{k_{12}} \cdot \frac{k_{22}}{k_{21}} = 1 \quad \frac{k_{11}}{k_{12}} = \frac{k_{21}}{k_{22}}$$

2. Al punto azeotropico

$$a = b \quad b = \kappa_1 - 1$$

3. Copolimerizzazione alternata

$$\kappa_1 = 0 \quad \kappa_2 = 0 \quad b = 2$$

Lunghezza media delle sequenze

$$\bar{l}_1 = \frac{v_{11}}{v_{22}} + 1 = \kappa_1 a + 1$$

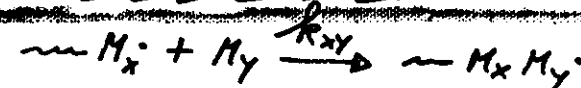
$$\bar{l}_2 = \frac{\kappa_2}{a} + 1$$

$$\frac{d[M_1]}{d[M_2]} = \frac{\bar{l}_1}{\bar{l}_2}$$

Costanti di velocità assolute ("l^-1 mole^-1 Sec^-1") per l'addizione di monomeri a radicali:

Monomero	RADICALE		$\sim \text{CH}_2-\text{CH}^{\bullet}$	$\sim \text{CH}_2-\overset{\text{C}\overset{\bullet}{\ominus}}{\underset{\text{O}}{\text{C}}} \text{H}_3$	$\sim \text{CH}_2-\overset{\text{C}\overset{\bullet}{\ominus}}{\underset{\text{O}}{\text{C}}} \text{H}_3$	$\sim \text{CH}_2-\overset{\text{C}\overset{\bullet}{\ominus}}{\underset{\text{O}}{\text{C}}} \text{H}_3$	$\sim \text{CH}_2-\overset{\text{C}\overset{\bullet}{\ominus}}{\underset{\text{O}}{\text{C}}} \text{H}_3$
	$\sim \text{CH}_2-\text{CH}^{\bullet}$	$\sim \text{CH}_2-\overset{\text{C}\overset{\bullet}{\ominus}}{\underset{\text{O}}{\text{C}}} \text{H}_3$					
STIRENE	176	806	11500	370.000			
MMA	335	367	232	250.000			
MA	229	3670	2090	37000			
VA	3,2	18,3	233	3700			

Schemi 2/2

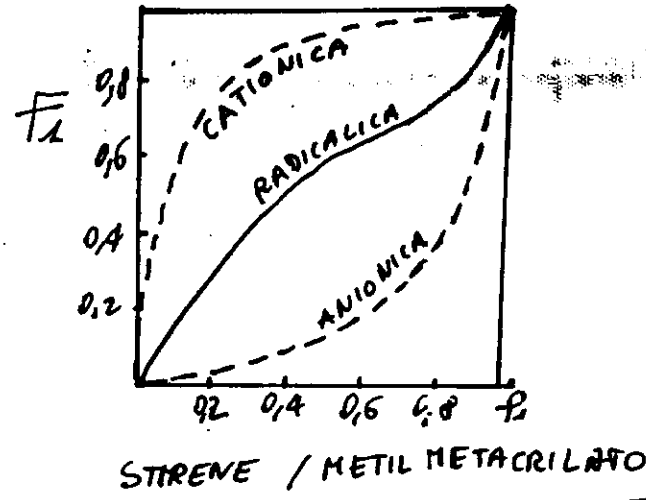


$$R_{xy} = P_x \cdot Q_y \cdot e^{-e_x \cdot e_y}$$

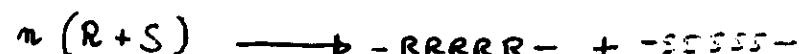
$$\kappa_1 = \frac{Q_1}{Q_2} \cdot e^{-e_1(e_1 - e_2)}$$

$$\kappa_2 = \frac{Q_2}{Q_1} e^{-e_2(e_2 - e_1)}$$

$$\kappa_1 \cdot \kappa_2 = e^{-(e_1 - e_2)^2}$$



COPOLIMERIZZAZIONE STEREOSELETTIVA



$$k_{RR} \gg k_{RS} \quad \kappa_R \gg 1$$

$$k_{SS} \gg k_{SR} \quad \kappa_S \gg 1$$

osservata per monomeri chitici

- 1) olefine raceme con cat. Ziegler/Natta
- 2) $\begin{array}{c} \text{CH}_2-\text{CH}-\text{R} \\ | \\ x \end{array}$ con cat eterogenei/o stereospecifici
- 3) $\begin{array}{c} \text{R}-\text{CH}-\text{NH}-\text{CO} \\ | \\ \text{C}-\text{O} \end{array}$ con basi